

УДК 539.238 : 535-46.

## ОПРЕДЕЛЕНИЕ ПАРАМЕТРОВ ТОНКИХ СЛОЕВ НА ПОВЕРХНОСТИ АНТИМОНИДА ИНДИЯ

B. H. Антонюк и E. P. Мацас

Проведено определение сравнительной точности и области применения нескольких типов эллипсометрических уравнений для системы антимонида индия — реальный окисел. Приближенные решения сравниваются с точными и с данными эксперимента.

Важной задачей является определение параметров реальных тонких окислов на поверхности полупроводников. Для тонких ( $< 100 \text{ \AA}$ ) непоглощающих слоев (показатель поглощения  $k_1=0$ ) имеются приближения [1-4], основанные на разложении в ряд основного эллипсометрического уравнения. Как отмечается в [5], наиболее точное приближение получил Саксена [4]

$$\operatorname{tg}(\Delta - \bar{\Delta}) = -C_{\Delta}d_1, \quad (1)$$

$$\psi - \bar{\psi} = \frac{1}{4} \sin 2\bar{\psi} C_{\Delta}^2 d_1^2, \quad (2)$$

где  $\bar{\Delta}$ ,  $\bar{\psi}$ ,  $\Delta$  и  $\psi$  — эллипсометрические углы поверхности свободной от пленки, и поверхности с тонким слоем толщиной  $d$ ;  $C_{\Delta}$  — коэффициент, зависящий от показателей преломления  $n_2$  и поглощения  $k_2$  подложки, показателя преломления пленки  $n_1$ , длины волны  $\lambda$  и угла падения света  $\varphi_0$ .

Саксена [4] провел сравнение приближенных уравнений (1) и (2) с точным решением стандартного эллипсометрического уравнения для системы  $\text{Si}-\text{SiO}_2$  ( $n_2=4.051$ ,  $k_2=0.027$ ,  $n_1=1.46$ ,  $\lambda=5461 \text{ \AA}$ ,  $\varphi_0=70^\circ$ ) и показал, что максимальная ошибка в определении  $d$  по уравнению (1)  $\leqslant 4\%$  и по уравнению (2)  $\sim 18\%$  для толщины  $d=100 \text{ \AA}$ .

Друде [1] были получены приближенные уравнения, из которых первое уравнение совпадает с (1), а второе имеет вид

$$\psi - \bar{\psi} = \frac{1}{2} \sin 2\bar{\psi} C_{\psi} d_1, \quad (3)$$

где  $C_{\psi}$  — коэффициент, зависящий от  $n_2$ ,  $k_2$ ,  $n_1$ ,  $\lambda$  и  $\varphi_0$ . Отметим, что для уравнений (1) и (3) Арчер [2] уточнил значения коэффициентов  $C_{\Delta}$  и  $C_{\psi}$ .

В работах [1-4] не анализируются границы применимости уравнений (1)–(3) для различных оптических констант подложки  $n_2$  и  $k_2$ , а также не показано, какую точность определения параметров тонких пленок обеспечивают эти приближения при разных соотношениях  $n_2$  и  $k_2$ . В работе [4] дано только качественное указание на то, что приближение Друде—Арчера обеспечивает более точное определение параметров тонких слоев в случае  $n_2 < k_2$ , тогда как при  $n_2 > k_2$  более приемлемым является приближение Саксены.

В данной работе проведена оценка применимости уравнений (1)–(3) для системы антимонида индия — реальный окисел. Проведено сравнение решений приближенных уравнений (1)–(3) с точным решением основного эллипсометрического уравнения и с экспериментальными данными

и  $\psi$  для реальной поверхности InSb, для которой  $n_2 \geq k_2$  в отличие от Si, где  $n_2 \geq k_2$ . Решение приближенных систем уравнений (1), (2) и (1), (3) и точного уравнения эллипсометрии сделано для оптических констант чистой поверхности InSb:  $\bar{n} = n_2 - ik_2 = 4.20 - i1.80$ ,  $\lambda = 6328 \text{ \AA}$  и  $\varphi_0 = 70^\circ$ . Отметим, что определение оптических констант InSb потребовало проведения специальных исследований и анализа литературных данных. Кроме того, целью работы является эллипсометрическое определение параметров

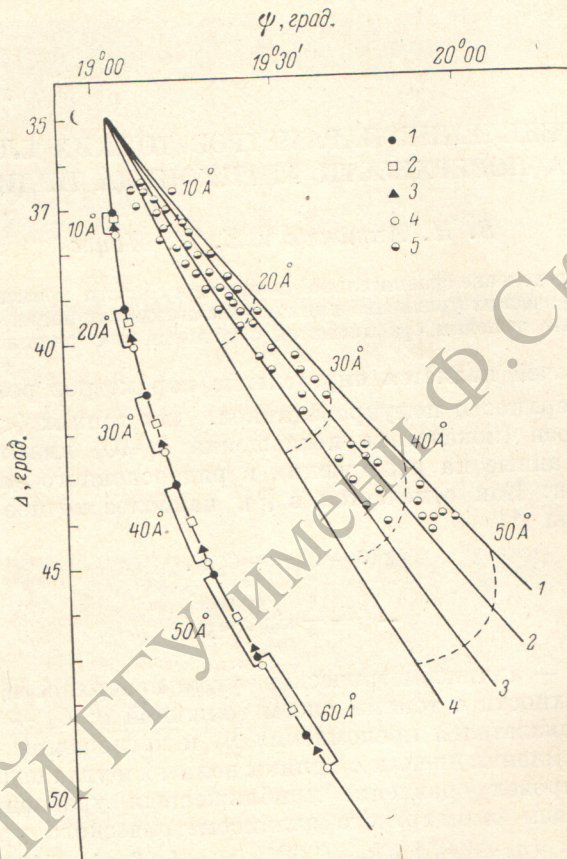


Рис. 4. Решения основного уравнения эллипсометрии и системы приближенных уравнений (1), (2) (кривые 1) и экспериментальные результаты измерения величин  $\Delta$  и  $\psi$  для системы антимонид индия—реальный окисел.  
1, 2, 3, 4 —  $n_1 = 1.6, 1.8, 2.0$  и  $2.2$  соответственно, 5 — экспериментальные точки. Цифры около кривых — толщины пленки.

реальных окислов на поверхности InSb, которое до сих пор не проводилось, что обусловлено большой неоднозначностью оптических констант InSb.

Учитывая, что уравнения Саксены являются более точными [5], мы вначале провели сравнение решений приближенных уравнений (1), (2) и решения точного уравнения эллипсометрии. На рис. 1 представлены эти решения, а также даны экспериментальные результаты измерения  $\Delta$  и  $\psi$  для различных обработок поверхности. Видно, что использование уравнений (1), (2) приводит к неоднозначному определению параметров окисла: показателя преломления  $n_1$  и толщины  $d$ . Кроме того, использование уравнений (1), (2) приводит к значительным ошибкам в определении  $d$ , анализ которых проведен ниже.

Из рис. 1 следует, что точное решение эллипсометрического уравнения хорошо описывает экспериментальные результаты и позволяет определить параметры реального окисла на поверхности InSb. Минимальная толщина окисла ( $\sim 5 \text{ \AA}$ ) получена после обработки электрополированной

поверхности в 1%-м растворе HF. Экспозиция образцов в естественной атмосфере в течение  $\sim 50$  ч приводит к росту окисла до толщин  $\sim 25\text{--}30$  Å. Наибольшие толщины окисла  $\sim 50$  Å получены после отмылок поверхности InSb в воде. Показатель преломления естественного окисла  $n_1 \approx \approx 1.8 \pm 0.1$ .

Решение системы уравнений (1), (3) представлены на рис. 2, из которого видно, что в этом случае получено хорошее совпадение обоих решений. Этот результат является несколько неожиданным, так как ожидалась [5]

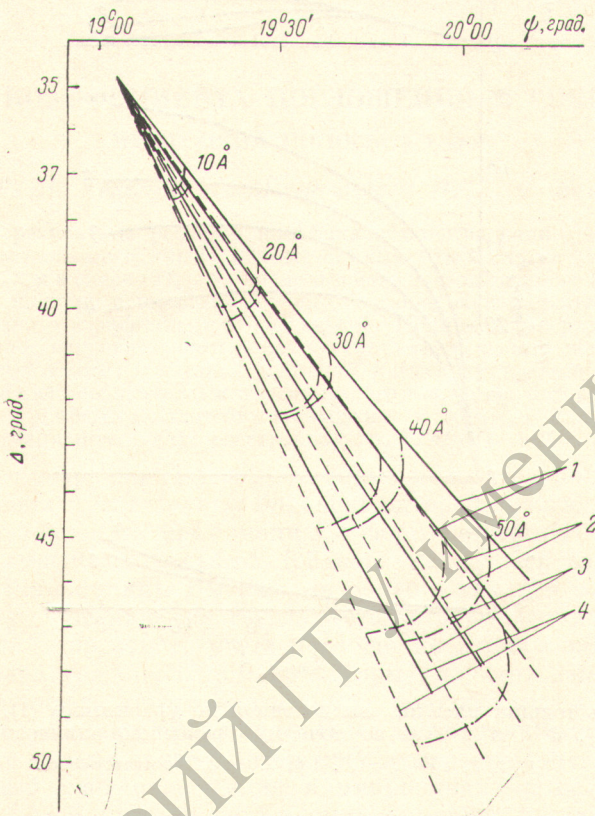


Рис. 2. Решения основного уравнения эллипсометрии (сплошные линии) и системы уравнений (1), (3) (штриховые линии) для системы InSb—реальный окисел.

Условные обозначения те же, что и на рис. 1.

большая точность для уравнений (1), (2), чем для уравнений (1), (3). В связи с этим мы вычислили ошибки определения толщины окисла для InSb по приближенным уравнениям (1)—(3) аналогичным образом, как сделал Саксена [4]. Вычислялась разность между толщиной пленки, полученной из решения точного и приближенных уравнений. Результаты расчетов представлены на рис. 3, из которых видно, что решения уравнений (1), (3) оказываются более точными, чем уравнения (2). Причем использование системы уравнений (1), (3) позволяет определить и показатель преломления, и толщину пленки. Как видно из рис. 3, а, ошибка определения толщины пленки по измерениям одной величины  $\Delta$  монотонно увеличивается с  $d$  и слабо зависит от показателя преломления пленки. Значительно большие ошибки возникают при определении толщины по параметру  $\phi$  — уравнение (2). Так, при  $d \sim 10 \div 20$  Å ошибка в 2—3 раза превосходит истинную толщину пленки, причем в области толщин  $10 \div 50$  Å наблюдается резкая зависимость ошибки от  $n_1$  (рис. 3, б). В то же время уравнение (3) дает значительно меньшую ошибку (рис. 3, в), что наряду с независимостью уравнений (1) и (3) дает хорошее совпадение

решений системы уравнений (1), (3) и точного уравнения эллипсометрии (рис. 2).

Таким образом, для определения оптических параметров тонких пленок на поверхности антимонида индия можно пользоваться, например, только уравнением (1). Для определения обоих параметров ( $n_1$  и  $d$ ) луч-

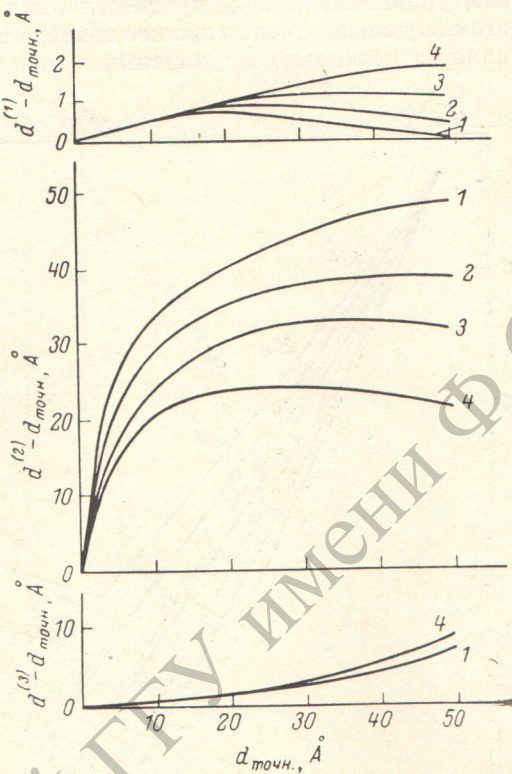


Рис. 3. Разность толщин пленки, вычисленной по уравнениям (1), (2) и (3) (соответственно  $d^{(1)}$ ,  $d^{(2)}$  и  $d^{(3)}$ ) и по точному уравнению эллипсометрии ( $d_{точн.}$ ).  
1, 2, 3, 4 —  $n_1=1.6, 1.8, 2.0$  и  $2.2$  соответственно.

шим является приближение Друде—Арчера. Различие результатов решения систем уравнений (1), (2) и (1), (3) связано с соотношением оптических констант подложки  $n_2$  и  $k_2$ . Приближение Друде—Арчера применимо не только в случае  $n_2 < k_2$ , как указано в работе [4], но и в случае  $n_2 \geq k_2$ , что имеет место, например, для InSb.

Авторы выражают благодарность Н. М. Растриненко за полезное обсуждение полученных результатов.

#### Литература

- [1] P. Drude. Ann. Physik, 36, 532, 865, 1889.
- [2] R. J. Archer, G. W. Gobeli. J. Phys. Chem. Sol., 26, 343, 1965.
- [3] D. K. Burge, H. E. Bennett. J. Opt. Soc. Am., 54, 1428, 1964.
- [4] A. N. Sakhap. J. Opt. Soc. Am., 55, 1061, 1965.
- [5] А. В. Ржанов, К. К. Свисташев, А. И. Семененко, Л. В. Семененко, В. К. Соколов. Основы эллипсометрии, 424. «Наука», Новосибирск, 1978.

Поступило в Редакцию 5 сентября 1979 г.